



ผลของการปนเปื่องสารห้ามเลือดต่อการรักษากระดับจุลภาคในการบูรณะฟันที่ใช้สารยึดติดระบบเซลฟ์ເອທີ 2 ชนิด

อัจฉราวรรณ ธรรมพาเลิศ ท.บ.¹

มุรธา พานิช ท.บ., M.S.D., ABOD.²

¹นิสิตบัณฑิตศึกษา ภาควิชาทันตกรรมหัตถการ คณะทันตแพทยศาสตร์ จุฬาลงกรณ์มหาวิทยาลัย

²ภาควิชาทันตกรรมหัตถการ คณะทันตแพทยศาสตร์ จุฬาลงกรณ์มหาวิทยาลัย

บทคัดย่อ

วัตถุประสงค์ เพื่อเปรียบเทียบการรักษากระดับจุลภาคที่ผนังด้านบดเคี้ยวและผนังด้านเหงือกของโพรงฟันชนิดคลาสໄพວที่บูรณะด้วยเรซินคอมโพสิตโดยใช้สารยึดติดระบบเซลฟ์ເອທີ 2 ชนิด ระหว่างกลุ่มโพรงฟันที่ปนเปื่องสารห้ามเลือดและไม่ล้างน้ำ กับกลุ่มที่โพรงฟันปนเปื่องสารห้ามเลือดและล้างน้ำ กับกลุ่มควบคุมที่ไม่มีการปนเปื่องสารห้ามเลือด

วัสดุและวิธีการ เตรียมโพรงฟันคลาสไฟว์ในพักระบบขนาด 70 ซี' ให้ผนังด้านบดเคี้ยวอยู่บนเคลือบฟันและผนังด้านเหงือกอยู่บนเคลือบหากฟัน สูมแบ่งฟันทั้งหมดเป็น 7 กลุ่ม กลุ่มละ 10 ซี' โดยเตรียมผิวฟัน 3 ลักษณะคือ กลุ่มที่ไม่มีการปนเปื่องสารห้ามเลือด กลุ่มปนเปื่องสารห้ามเลือดและไม่ล้างน้ำ และกลุ่มปนเปื่องสารห้ามเลือดและล้างน้ำ ทำการบูรณะฟันด้วยเรซินคอมโพสิตโดยใช้สารยึดติดก่อนการบูรณะ 2 ชนิด คือ เคลียร์ฟิลเคลือบอนด์และเคลียร์ฟิลไตรีสบอนด์ กลุ่มที่ไม่ใช้สารยึดติดเป็นกลุ่มควบคุมเชิงลบ หลังบูรณะนำชิ้นงานทั้งหมดมาผ่านกระบวนการเทอร์โมไซค์ลิกก่อนทดสอบการรักษากระดับจุลภาคด้วยการแขวน 50% ชิลเวอร์ในترت เป็นเวลา 24 ชั่วโมง อ่านผลคะแนนการรักษาทั้งผนังด้านบดเคี้ยวและผนังด้านเหงือก เปรียบเทียบการรักษากระดับจุลภาคด้วยสติ๊กนอนพารามิตริกครัสคลา-วัลลิส การเบรียบเทียบพหุคุณ และสถิติ Mann-Whitney U เทสท์

ผลการศึกษา การรักษากระดับจุลภาคที่ผนังด้านบดเคี้ยวของกลุ่มที่ใช้เคลียร์ฟิลเคลือบอนด์ซึ่งมีการปนเปื่องสารห้ามเลือดแล้วล้างน้ำและไม่ล้างน้ำไม่มีความแตกต่างจากกลุ่มควบคุม ($p = 0.5555$) ส่วนการปนเปื่องสารห้ามเลือดที่ผนังด้านเหงือกโดยไม่ผ่านการล้างน้ำมีการรักษาที่มากกว่ากลุ่มควบคุมอย่างมีนัยสำคัญทางสถิติ ($p = 0.0001$) สำหรับกลุ่มที่ใช้เคลียร์ฟิลไตรีสบอนด์พบว่าการปนเปื่องสารห้ามเลือดโดยไม่ผ่านการล้างน้ำมีการรักษาที่ผนังด้านบดเคี้ยวและผนังด้านเหงือกมากกว่ากลุ่มควบคุมอย่างมีนัยสำคัญทางสถิติ ($p = 0.0006$ และ $p = 0.0001$ ตามลำดับ)

สรุป การใช้สารยึดติดเคลียร์ฟิลเลอสอีบอนด์ และเคลียร์ฟิลไดเรสบอนด์ในการบูรณะด้วยเรซินคอมโพสิตเมื่อมีการปนเปื้อนสารห้ามเลือดโดยไม่ทำการล้างน้ำจะให้ค่าการรั่วซึมมากกว่ากลุ่มควบคุมและกลุ่มปนเปื้อนสารห้ามเลือดที่ทำการล้างน้ำยกเว้นที่ผังด้านบดเคี้ยวของกลุ่มที่ใช้เคลียร์ฟิลเลอสอีบอนด์ที่การปนเปื้อนไม่มีผลต่อการรั่วซึม

(วันที่ 2553;33:15-24)

คำสำคัญ: การปนเปื้อน; การรั่วซึมระดับจุลภาค; สารยึดติดระบบเซลฟ์เอ็ทช์; สารห้ามเลือด

บทนำ

ปัจจุบัน การบูรณะฟันด้วยเรซินคอมโพสิต (resin composite) เป็นที่นิยมอย่างแพร่หลาย เนื่องจากวัสดุมีความแข็งแรง มีสีและผิวสัมผัสใกล้เคียงกับฟันธรรมชาติ การบูรณะจำเป็นต้องอาศัยการยึดติดกับผิวฟันด้วยสารยึดติด (adhesive systems) ซึ่งปัจจุบันได้มีการพัฒนาให้มีการใช้งานที่ง่าย เช่น สารยึดติดระบบเซลฟ์เอ็ทช์ (self-etching systems) ซึ่งมีขั้นตอนการทำงานเพียง 2 ขั้นตอน และ 1 ขั้นตอน¹ ความสำเร็จของการบูรณะฟันด้วยเรซินคอมโพสิต ขึ้นอยู่กับปัจจัยต่าง ๆ หลักๆ ปัจจัย เช่น การหดตัวเมื่อเกิดปฏิกิริยาการเกิดโพลิเมอร์ (polymerization shrinkage)² การฉายแสงจากเครื่องฉายแสง (light curing unit) เพื่อทำให้วัสดุเกิดโพลิเมอร์อย่างสมบูรณ์³ และการควบคุมความชื้น (moisture control)⁴

การควบคุมความชื้นบริเวณขอบเหงือกที่อาจมีการปนเปื้อนของเลือด น้ำลาย และน้ำเหลืองเหงือก (crevicular fluid) นอกจากวิธีการใส่แผ่นยางกันน้ำลายแล้ว ยังมีการใช้ด้ายแยกเหงือก (gingival retraction cord) และสารห้ามเลือด (hemostatic agent)^{5,6} สารห้ามเลือดส่วนใหญ่มีค่าความเป็นกรดสูง^{7,8} ซึ่งเมื่อมีการสัมผัสถกับผิวนื้อฟันจะทำให้เกิดการเปลี่ยนแปลงของพื้นผิว สารห้ามเลือดบางชนิดจะกำจัดชั้นสมีเยร์ (smear layer) เกิดการละลายของแร่ธาตุ และเกิดการแยกของท่อเนื้อฟัน (dental tubules) มากขึ้น⁷ การศึกษาค่ากำลังแรงยึดของสารยึดติดระบบเซลฟ์เอ็ทช์กับเนื้อฟันที่มีการปนเปื้อนสารห้ามเลือดพบว่า การปนเปื้อนสารห้ามเลือดทำให้ค่ากำลังแรงยึดต่ำลง^{9,10} การทดสอบการรั่วซึมระดับจุลภาคบริเวณขอบวัสดุเป็นอีกวิธีหนึ่งที่บ่งบอกถึงความสำเร็จของการบูรณะฟัน ในทางคลินิกพบว่าการรั่วซึมทำให้เกิดการติดสีตามขอบวัสดุ เกิดฟันผุซ้ำ (secondary caries) เกิดการเสียหายฟันหลังการบูรณะ และอาจเกิดพยาธิสภาพต่อในระยะยาว¹¹ ปัจจุบันยังไม่มีผู้ทำการศึกษาเรื่องการรั่วซึมระดับจุลภาคของวัสดุเนื่องจากการปนเปื้อนสารห้ามเลือด

การศึกษาครั้งนี้จึงมีวัตถุประสงค์ที่จะศึกษาการรั่วซึมระดับจุลภาคที่ผังด้านบดเคี้ยวและผังด้านเหงือกของโครงฟันชนิดคลาสไฟฟ์ที่บูรณะด้วยเรซินคอมโพสิตโดยใช้สารยึดติดระบบเซลฟ์เอ็ทช์ 2 ชนิด ของกลุ่มโครงฟันที่ปนเปื้อนสารห้ามเลือด และไม่ล้างน้ำ กลุ่มที่โครงฟันปนเปื้อนสารห้ามเลือดและล้างน้ำ และกลุ่มควบคุมที่ไม่มีการปนเปื้อนสารห้ามเลือด

วัสดุและวิธีการ

การศึกษานี้ได้รับอนุญาตจากคณะกรรมการพิจารณาจริยธรรมการวิจัยในมนุษย์ คณะทันตแพทยศาสตร์ จุฬาลงกรณ์มหาวิทยาลัย เลขที่ 66/2008 ให้ใช้พัณฑ์น้ำยาอนามัยน้อยบ่นของมนุษย์จำนวน 70 ซี.มิลลิเมตรเพื่อการจัดฟันและแข็งฟันทันทีหลังถอนใน 0.2% สารละลายไทมอล (thymol solution) เป็นเวลา 1 สัปดาห์ และเก็บในน้ำกลั่นที่อุณหภูมิ 4 องศาเซลเซียส จนกว่าจะนำไปทดสอบ (ไม่เกิน 1 เดือนหลังจากถอน) โดยพันทุกซี.มิลลิเมตรร้าว รอยผุ หรือวัสดุอุด และในการศึกษานี้ใช้สารยึดติดระบบเซลฟ์เอ็ทช์ 2 ชนิด ในการเตรียมผิวโครงฟัน ก่อนการบูรณะฟันด้วยเรซินคอมโพสิต (ตารางที่ 1)

เตรียมโครงฟันบริเวณกึ่งกลางด้านแก้ม (midbuccal surface) ให้ได้รูปป่างโครงฟันคลาสไฟฟ์ตามเกณฑ์การทดสอบการรั่วซึมมาตรฐานนานาชาติทางทันตกรรม : รายงานทางเทคนิคหมายเลข 11405 (Internal Organization for Standardization/Technical Reports, ISO/TR 11405) ที่มีขนาดกว้าง 3.0 มม. ยาว 3.0 มม. และลึก 2.0 มม. (ผิดพลาดได้ไม่เกิน 0.3 มม.) ให้ผังด้านบดเคี้ยว (occlusal wall) อยู่ใต้ต่อรอยต่อเคลือบฟัน และผังด้านเหงือก (gingival wall) อยู่ใต้ต่อรอยต่อเคลือบฟันและเคลือบรากระฟัน (cementoenamel junction) ประมาณ 1.0 มม. โดยใช้เข็มกรอฟันกาเพชรชนิดทรงกระบอก (cyclindrical diamond bur ขนาด 009, Messinger, Germany) กรอด้วยความเร็วสูง มีน้ำรับบายความร้อนตลอดเวลา และเปลี่ยนเข็มกรอฟันใหม่หลังจากการกรอฟัน 2 ซี.มิลลิเมตร ใช้เข็มกรอฟันกาเพชรชนิดละอียด

ปลายแหลม (taper diamond bur, Messinger, Germany) ปัดเฉียง (bevel) กว้างเท่ากับ 1.0 มม. ที่ขอบโพรงฟัน ด้านบนเดียว ใช้เครื่องมือวัดความลึกร่องเหงือก (periodontal probe, Hu-friedy, U.S.A.) และเครื่องวัดขนาดแบบดิจิทอล (digital vernier caliper, Mitutoyo, Japan) เพื่อวัดขนาดของโพรงฟัน จากนั้นทำการสูบเป็นฟันเป็น 7 กลุ่ม กลุ่มละ 10 ซี. และทำการเตรียมผิวฟันในแต่ละกลุ่มดังนี้

กลุ่มที่ 1 กลุ่มควบคุม (negative control) ทำการล้างโพรงฟันและเป่าโพรงฟันให้หมาด (moist dentin) โดยใช้หัวเป่าลมและน้ำแบบสามทางโดยวางปลายห่างจากโพรงฟันประมาณ 5 ซม. และเป่าด้วยลมเป็นเวลา 5 วินาที

กลุ่มที่ 2 กลุ่มควบคุมที่ใช้สารยึดติดเคลือบฟิล์มอ่อนดี (SE-control) ทำการล้างโพรงฟันและเป่าโพรงฟันให้หมาด และทำการเตรียมผิวโพรงฟันด้วยสารยึดติดตามคำแนะนำของบริษัทผู้ผลิต

กลุ่มที่ 3 กลุ่มที่ใช้สารยึดติดเคลือบฟิล์มอ่อนดีโดยที่โพรงฟันมีการปนเปื้อนสารห้ามเลือดและไม่ล้างน้ำ (SE-NR) ทำการล้างโพรงฟันและเป่าโพรงฟันให้แห้ง ดูดสารห้ามเลือด (Racestyptine hemostatic solution agent, Septodont, France) 10 ไมโครลิตร ใส่ในโพรงฟัน ทิ้งไว้เป็นเวลา 2 นาที ทำการเป่าให้แห้ง และเตรียมผิวโพรงฟันด้วยสารยึดติดตามคำแนะนำของบริษัทผู้ผลิต

กลุ่มที่ 4 กลุ่มที่ใช้สารยึดติดเคลือบฟิล์มอ่อนดีโดยที่โพรงฟันมีการปนเปื้อนสารห้ามเลือดและล้างน้ำ (SE-R) ทำการล้างโพรงฟันและเป่าโพรงฟันให้แห้ง ดูดสารห้ามเลือด 10 ไมโครลิตร ใส่ในโพรงฟันทิ้งไว้เป็นเวลา 2 นาที ทำการล้างน้ำ เป็นเวลา 30 วินาที และเป่าผิวโพรงฟันให้หมาด จากนั้นเตรียมผิวโพรงฟันด้วยสารยึดติดตามคำแนะนำของบริษัทผู้ผลิต

ตารางที่ 1 ส่วนประกอบและวิธีการใช้ของผลิตภัณฑ์ที่ใช้ในการศึกษา

Table 1 Compositions and application of products used in this study

Products	Manufactures	Compositions
Clearfil	Kuraray	- Primer : 10 -Methacryloxydecyl dihydrogen phosphate (MDP),
SE bond	medical	2-Hydroxyethyl methacrylate (HEMA), dl-Camphorquinone, water
INC., Japan		
		- Bonding : Bis-phenol A diglycidylmethacrylate (Bis-GMA), MDP, HEMA, dl-Camphorquinone, Silanated colloidal silica
Application : – Apply primer for 20 seconds; gently air blow; apply bonding agent; gently air blow again and light cure for 10 seconds.		
Clearfil	Kuraray	- MDP, Bis-GMA, HEMA, Hydrophobic dimethacrylate, dl-
S3 bond	medical	Camphorquinone, Ethyl alcohol, water, Silanated colloidal silica.
INC., Japan		
Application : – Apply primer for 20 seconds; vigorous blow more than 5 seconds and light cure for 10 seconds		
Racestyptine	Septodont,	- Hexahydrated aluminium chloride 25% m/v, Oxyquinol,
hemostatic	France	Hydroalcoholic excipient.
solution		
agent		
Application : – Clean and dry gingival surface; apply the solution with cotton pellet on gingival surface.		

กลุ่มที่ 5 กลุ่มควบคุมที่ใช้สารยึดติดเคลือบฟิล์มไตรีโอล์บอนด์ (S3-control) ทำการล้างโพรงฟันและเป่าโพรงฟันให้หมด และทำการเตรียมผิวโพรงฟันด้วยสารยึดติดตามคำแนะนำของบริษัทผู้ผลิต

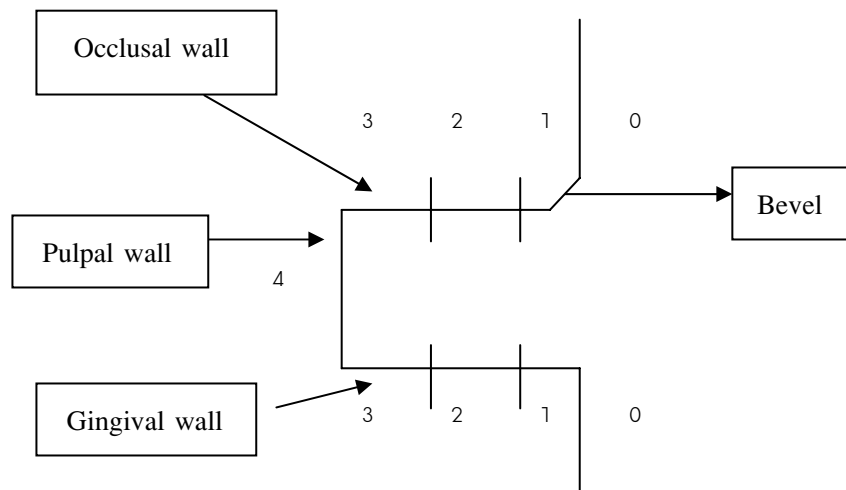
กลุ่มที่ 6 กลุ่มที่ใช้สารยึดติดเคลือบฟิล์มไตรีโอล์บอนด์ โดยที่โพรงฟันมีการปนเปื้อนสารห้ามเลือดและไม่ล้างน้ำ (S3-NR) ทำการล้างโพรงฟันและเป่าโพรงฟันให้แห้ง ดูดสารห้ามเลือด 10 ไมโครลิตร ใส่ในโพรงฟัน ทิ้งไว้เป็นเวลา 2 นาที ทำการเป่าให้แห้ง และเตรียมผิวโพรงฟันด้วยสารยึดติดตามคำแนะนำของบริษัทผู้ผลิต

กลุ่มที่ 7 กลุ่มที่ใช้สารยึดติดเคลือบฟิล์มไตรีโอล์บอนด์ โดยที่โพรงฟันมีการปนเปื้อนสารห้ามเลือดและไม่ล้างน้ำ (S3-R) ทำการล้างโพรงฟันและเป่าโพรงฟันให้แห้ง ดูดสารห้ามเลือด 10 ไมโครลิตร ใส่ในโพรงฟันทิ้งไว้เป็นเวลา 2 นาที ทำการล้างน้ำเป็นเวลา 30 วินาที และเป่าผิวฟันให้หมด จากนั้นเตรียมผิวโพรงฟันด้วยสารยึดติดตามคำแนะนำของบริษัทผู้ผลิต

ทำการบูรณะโพรงฟันทุกกลุ่มด้วยเรซินคอมโพสิต (Filtek Z350 สี A3.5, 3M ESPE, U.S.A.) เป็นชั้นๆ โดยชั้นแรกบูรณะจากบริเวณกึ่งกลางของโพรงฟันในแนวนอน จนถึงผนังด้านบนเดียวกับอุบลากแล้วขายแสง 40 วินาที และบูรณะโพรงฟันส่วนที่เหลืออุบลากถึงผนังด้านหน้าเรืองแสง 40 วินาที ด้วยเครื่องข่ายแสง (light curing unit, Elipar® Trilight, 3M ESPE, U.S.A.) ที่วัดความเข้มแสงด้วยเครื่องวัดความเข้มแสง (radiometer, Elipar® Trilight, 3M ESPE, U.S.A.) ทุกครั้งก่อนการข่ายแสง โดยความเข้มแสงที่วัดได้ไม่ต่างกว่า 300 มิลลิวัตต์ต่อตร.ซม. ทำการตัดแต่งวัสดุส่วนเกินทันทีด้วยใบมีดเบอร์ 12 (Swann-morton LTD., England) และขัดด้วยแผ่นขัดคอมโพสิต (Sof-Lex, 3M ESPE, U.S.A.) ตรวจสอบการขัดภายในที่มีกำลังขยาย 2.5 เท่า นำฟันที่บูรณะแล้วไปแข็งกลั่นที่อุณหภูมิ 37 องศาเซลเซียส เป็นเวลา 24 ชม. จากนั้นนำมาระบุนการเทอร์โมไทร์คลิง (thermocycling) โดยเชื่อมในน้ำที่อุณหภูมิ 5 องศาเซลเซียส กับ 55 องศาเซลเซียส สลับกันอุณหภูมิละ 30 วินาที¹² จำนวน 5000 รอบ ด้วยเครื่องเทอร์โมไทร์คลิง (thermocycling unit, Bosstech, Germany)

ทำการเคลือบพื้นผิวฟันส่วนที่ไม่ได้บูรณะด้วยน้ำยาทาเล็บ (nail varnish, Anne & Florio®, Thailand) 2 ชั้น โดยเคลือบห่างจากขอบของวัสดุบูรณะ 1.0 มม. ปิดบริเวณปลายรากฟันด้วยชิ้นผึ้งเหนียว (Kemdent, Associated Dental Products Ltd, UK) จากนั้นนำฟันไปแขวนสารละลาย 50% ซิลเวอร์ไนเตรต (silver nitrate, Merck, Germany) เป็นเวลา 24 ชม. ล้างน้ำให้สะอาดและแข็งฟันในน้ำยาล้างฟิล์ม (Kodak GBX Developer and replenisher, Kodak Co., U.S.A.) ภายใต้แสงฟลูออเรสเซนท์ (fluorescent light) ในห้องมีดเป็นเวลา 8 ชม. ตัดแบ่งฟันในแนวตั้ง (vertical) เป็น 4 ส่วนด้วยเลื่อยตัดฟันความเร็วต่ำ (slow speed cutting machine, Model Isomet, Buehler, U.S.A.) โดยมีน้ำร้ายความร้อนตลอดเวลา การตัดแบ่งฟันเริ่มจากบริเวณกึ่งกลางฟัน จากนั้นตัดอีก 2 แนวทางด้านซ้ายและขวาของแนวเดิม โดยให้ความหนาของชิ้นงานที่ตัดเท่ากับ 0.7 มม. นำชิ้นฟันที่ตัดได้ทั้ง 2 ชิ้นไปส่องด้วยกล้อง stereomicroscope, ML 9300 Meiji technico Co., LTD, Japan) กำลังขยาย 10 เท่า เพื่อวัดการร่วงหลุดของด้านของแต่ละชิ้นฟันโดยผู้อ่านผล 2 คน ที่ไม่ใช้ผู้ทำการบูรณะฟันและไม่ทราบว่าชิ้นงานเป็นกลุ่มใด ผู้อ่านผลทั้ง 2 คนได้ผ่านการฝึกอ่านผลให้มีความเข้าใจตรงกันและผ่านการทดสอบความเที่ยงของผู้อ่านผลแต่ละบุคคล แยกกันและรวมกัน โดยดูจากค่าแคปปาแบบถ่วงน้ำหนัก (Weighted Kappa) ด้วยโปรแกรม MedCalc ผู้วิจัยกำหนดว่าค่าแคปปาที่ได้ต้องอยู่ในช่วงของดีหรือดีมาก คืออยู่ระหว่าง 0.61–1.0 ตามเกณฑ์ของ Altman¹³ การอ่านค่าคะแนนการร่วงหลุดของผู้อ่านทั้ง 2 คนทำพร้อมๆ กัน ถ้ามีค่าได้ที่มีความเห็นไม่ตรงกันให้ใช้ค่าคะแนนร่วงหลุดที่มากกว่า เกณฑ์การให้คะแนนการร่วงหลุดแสดงไว้ในภาพที่ 1 วัดค่าความเป็นกรด–ด่างของสารห้ามเลือดด้วยเครื่องวัดค่าความเป็นกรดด่าง (pH meter, ORION 420A, ATI ORION, U.S.A.) โดยทำการวัดซ้ำ 3 ครั้ง และนำค่าที่ได้มาหาค่าเฉลี่ย

เปรียบเทียบค่าการร่วงหลุดระดับจุลภาคด้วยสถิตินอนพารามิตริก (Non-Parametric) ชนิดครัสคาล-วัลลิส (Kruskal-Wallis) การเปรียบเทียบพหุคุณ (Multiple comparisons, all pairwise comparisons : Conover Inman) และสถิติแมนวิทney ยู เทสท์ (Mann Whitney U test) ด้วยโปรแกรม สเตตส์ไดเรก ฟอร์วินไดร์ เวอร์ชัน 2.7.2 ซอฟท์แวร์ (StatsDirect for window version 2.7.2 software)



รูปที่ 1 แสดงการให้คะแนนการรั่วซึมที่ผนังด้านบดเคี้ยวและผนังด้านเหงือก; 0 คือ ไม่มีการรั่วซึม; 1 คือ รั่วซึม 1 ใน 3 ส่วนของความยาวของผนังด้านบดเคี้ยวหรือด้านเหงือก; 2 คือ รั่วซึม 2 ใน 3 ส่วนของความยาวของผนังด้านบดเคี้ยวหรือด้านเหงือก; 3 คือ รั่วซึมทั้งหมดของความยาวของผนังด้านบดเคี้ยวหรือด้านเหงือก; 4 คือ รั่วซึมในส่วนของผนังด้านโพรงประสาทฟัน

Fig. 1 Showed microleakage scores at occlusal and gingival wall, 0 = no leakage; 1 = leakage one-third of occlusal or gingival wall length; 2 = leakage two-third of occlusal or gingival wall length; 3 = leakage whole of occlusal or gingival wall length; 4 = leakage in pulpal wall.

ผลการศึกษา

ผลการวิเคราะห์ความเที่ยงของผู้อ่านผลคะแนนการรั่วซึมพบว่าอยู่ในเกณฑ์ดีมาก โดยค่าแคปปาแบบถ่วงน้ำหนักของผู้อ่านผลคนที่ 1 เท่ากับ 0.847 ผู้อ่านผลคนที่ 2 เท่ากับ 0.810 และค่าแคปปาแบบถ่วงน้ำหนักระหว่างผู้อ่านผลคนที่ 1 และผู้อ่านคนที่ 2 มีค่าเท่ากับ 0.848

ร้อยละของคะแนนการรั่วซึมระดับจุลภาคที่ผนังด้านบดเคี้ยวและผนังด้านเหงือกของแต่ละกลุ่มแสดงในตารางที่ 2 ซึ่งเมื่อเปรียบเทียบการรั่วซึมที่ผนังด้านบดเคี้ยวในกลุ่มที่ใช้เคลียร์ฟิลเลอสโอบอนด์ พบร่วง กลุ่มที่มีการปนเปื้อนสารห้ามเลือดและไม่ล้างน้ำ และกลุ่มที่ปนเปื้อนสารห้ามเลือดและล้างน้ำ มีค่าการรั่วซึมไม่แตกต่างจากกลุ่มที่ไม่ปนเปื้อนอย่างมีนัยสำคัญทางสถิติ ($p = 0.5555$) ส่วนการรั่วซึมที่ผนังด้านเหงือกพบว่า กลุ่มที่ไม่ปนเปื้อนมีค่าการรั่วซึมน้อยกว่ากลุ่มที่ปนเปื้อนสารห้ามเลือดและไม่ล้างน้ำ ($p = 0.0001$) แต่ไม่แตกต่างจากกลุ่มที่ปนเปื้อนสารห้ามเลือดและล้างน้ำอย่างมีนัยสำคัญทางสถิติ ($p = 0.1147$) และพบว่า กลุ่มที่ปนเปื้อน

สารห้ามเลือดและไม่ล้างน้ำมีค่าการรั่วซึมมากกว่ากลุ่มที่ปนเปื้อนสารห้ามเลือดและล้างน้ำอย่างมีนัยสำคัญทางสถิติ ($p = 0.0001$)

เมื่อเปรียบเทียบการรั่วซึมระดับจุลภาคที่บริเวณผนังด้านบดเคี้ยวในกลุ่มที่ใช้เคลียร์ฟิลเลอสโอบอนด์พบว่า กลุ่มควบคุมมีค่าการรั่วซึมน้อยกว่ากลุ่มที่ปนเปื้อนสารห้ามเลือดและไม่ล้างน้ำ ($p = 0.0006$) แต่ไม่แตกต่างจากกลุ่มที่ปนเปื้อนสารห้ามเลือดและล้างน้ำอย่างมีนัยสำคัญทางสถิติ ($p = 0.0969$) และพบว่า กลุ่มที่ปนเปื้อนสารห้ามเลือดและไม่ล้างน้ำมีค่าการรั่วซึมมากกว่ากลุ่มที่ปนเปื้อนสารห้ามเลือดและล้างน้ำอย่างมีนัยสำคัญทางสถิติ ($p = 0.0001$) การเปรียบเทียบการรั่วซึมที่บริเวณผนังด้านเหงือกพบว่า กลุ่มควบคุมมีค่าการรั่วซึมน้อยกว่ากลุ่มที่ปนเปื้อนสารห้ามเลือดและไม่ล้างน้ำ ($p = 0.0001$) แต่ไม่แตกต่างจากกลุ่มที่ปนเปื้อนสารห้ามเลือดและล้างน้ำอย่างมีนัยสำคัญทางสถิติ ($p = 0.5767$) ส่วนกลุ่มที่ปนเปื้อนสารห้ามเลือดและไม่ล้างน้ำมีค่าการรั่วซึมมากกว่ากลุ่มปนเปื้อนสารห้ามเลือดและล้างน้ำอย่างมีนัยสำคัญทางสถิติ ($p = 0.0001$)

ตารางที่ 2 แสดงร้อยละของคะแนนการรั่วซึมระดับจุลภาคของทุกกลุ่มทดลอง

Table 2 Showed the percentage of microleakage scores of all groups

Score	Negative Control	Clearfil SE-bond								Clearfil S3-bond					
		SE-control		SE-NR		SE-R		S3-control		S3-NR		S3-R			
		O	G	O	G	O	G	O	G	O	G	O	G	O	G
0	0	0	15	20	10	0	7.5	2.5	0	0	0	0	2.5	0	0
1	0	0	60	70	77.5	0	70	77.5	57.5	62.5	35	0	77.5	72.5	0
2	0	0	22.5	5	12.5	7.5	20	15	42.5	20	10	0	20	12.5	0
3	2.5	0	2.5	5	0	15	2.5	5	0	10	2.5	0	0	5	0
4	97.5	100	0	0	0	77.5	0	0	0	7.5	52.5	100	0	10	0
Total		100	100	100	100	100	100	100	100	100	100	100	100	100	100

O = Occlusal wall (n=40), G = Gingival wall (n=40)

SE = Clearfil SE-bond; S3 = Clearfil S3-bond; Control = No contamination; NR = Hemostatic agent contaminated without water rinsing; R = Hemostatic agent contaminated with water rinsing

เมื่อเปรียบเทียบการรั่วซึมระดับจุลภาคของกลุ่มที่ทำการเติมผิวนะเพนแบบเดียวกันแต่ใช้สารยึดติดต่างชนิดกันพบว่า การรั่วซึมน้ำที่บริเวณผนังด้านบนเคี้ยวและบริเวณผนังด้านหน้าอกในกลุ่มน้ำป่นเป็นปีกน้ำห้ามเลือดและกลุ่มน้ำป่นเป็นปีกน้ำห้ามเลือดแล้วไม่ล้างน้ำของกลุ่มที่ใช้เคลียร์ฟิลเอสบอนด์ให้ค่าการรั่วซึมน้อยกว่ากลุ่มที่ใช้เคลียร์ฟิลไตรอสบอนด์อย่างมีนัยสำคัญทางสถิติ ส่วนกลุ่มน้ำป่นเป็นปีกน้ำห้ามเลือดและล้างน้ำป่นบริเวณผนังด้านหน้าอกในกลุ่มที่ใช้เคลียร์ฟิลเอสบอนด์ให้ค่าการรั่วซึมน้ำป่นมากกว่ากลุ่มที่ใช้เคลียร์ฟิลไตรอสบอนด์อย่างมีนัยสำคัญทางสถิติ

สำหรับค่าความเป็นกรด-ด่างของสารห้ามเลือดมีค่าเฉลี่ยเท่ากับ 0.78

วิจารณ์

เพื่อให้การยึดติดของสุดยอดน้ำห้ามเลือดมีประสิทธิภาพที่ดี พื้นผิวนะเพนบริเวณที่ต้องการยึดจะต้องสะอาดปราศจากสิ่งปนเปื้อน¹⁴ การศึกษานี้พยายามจำลองสถานการณ์การบูรณะโพรงฟันคลาสไฟว์ในกรณีที่ต้องใช้สารห้ามเลือดบริเวณ

ที่ใกล้กับโพรงฟันและเกิดการปนเปื้อนสารห้ามเลือดภายในโพรงฟัน ความเป็นกรด-ด่างของสารห้ามเลือดที่ใช้ในการศึกษานี้มีภาวะความเป็นกรดสูงเช่นเดียวกับการศึกษาที่ผ่านมา^{7,8} โดยมีค่าเฉลี่ยเท่ากับ 0.78 เมื่อสารห้ามเลือดที่มีค่าความเป็นกรดสูงสัมผัสกับผิวนะเพนจะทำให้เกิดการละลายของแร่ธาตุและเกิดการเปลี่ยนแปลงบริเวณผิวนะเพน ถ้าทำการล้างด้วยน้ำจะพบการกำจัดชั้นสีเมียร์อย่างสมบูรณ์และมีการเผยแพร่องท่อเนื้อฟันซึ่งมากหรือน้อยขึ้นอยู่กับระยะเวลาที่สัมผัสด้วยสารห้ามเลือด และค่าความเป็นกรด-ด่างของสารห้ามเลือดแต่ละชนิด⁷

การศึกษาครั้งนี้เลือกสารยึดติดผลิตภัณฑ์เคลียร์ฟิลเอสบอนด์และเคลียร์ฟิลไตรอสบอนด์ ซึ่งมีค่าความเป็นกรด-ด่างเท่ากับ 2.0 และ 2.7 ตามลำดับ สารยึดติดทั้งสองชนิดเป็นผลิตภัณฑ์จากบริษัทผู้ผลิตเดียวกันและมีองค์ประกอบหลักที่ใกล้เคียงกันเพื่อลดปัจจัยรบกวนอื่นที่ไม่เกี่ยวข้อง คือ สารยึดติดทั้งสองจัดอยู่ในระบบที่ใช้การกัดด้วยกรดอ่อน (*mild self-etch adhesives*) และมีส่วนประกอบที่เหมือนกันคือ 10-เอ็มดีพี (10-MDP:10-Methacryloxydecyl

dihydrogen phosphate) ซึ่งเป็นมอนомерที่เป็นกรด (acidic monomer) มีส่วนของหมู่ฟังก์ชัน (functional group) คือ หมู่ฟอสเฟต (phosphate group) ที่สามารถแตกตัวและให้การยึดติดด้วยพันธะเคมีกับผลึกไฮดรอกซิอะพาไทด์ได้¹⁵ นอกจากนั้นยังประกอบด้วยไฮดรอกซิเออริลเมಥาครีเลต (2-Hydroxyethyl methacrylate : HEMA) ซึ่งเป็นไมเกลคูลที่ชอบน้ำ (hydrophilic) ดังนั้นในขั้นตอนการใช้งานของสารยึดติดชนิดนี้การระเหยตัวทำลายและน้ำอาจทำได้ยากขึ้น¹⁶

จากการศึกษาที่พบว่า เมื่อเกิดการปนเปื้อนสารห้ามเลือดบริเวณผิวนีโอฟันและไม่ล้างน้ำในการบูรณะด้วยสารยึดติดทั้ง 2 ชนิดจะมีค่าการรั่วซึมระดับจุลภาคมากกว่า กลุ่มควบคุมและกลุ่มที่ปนเปื้อนสารห้ามเลือดและล้างน้ำ การตกค้างของสารห้ามเลือดบนผิวนีโอฟันอาจขัดขวางกระบวนการยึดติดของสารยึดติดภาพถ่ายจากกล้องจุลทรรศน์อิเลคตรอนชนิดสองภายในการศึกษาของ O'Keefe KL ในปี ค.ศ. 2005 ซึ่งเปรียบเทียบพื้นผิวนีโอฟันที่ปนเปื้อนสารห้ามเลือดชนิดอลูминัมคลอไรด์แล้วทำการล้างน้ำและไม่ล้างน้ำพบว่า ในกลุ่มที่ไม่ล้างน้ำจะมีสารห้ามเลือดที่แห้งแตกระแทรกคลุมเนื้อฟันส่วนกลุ่มที่ล้างน้ำจะมีการกำจัดซึ้งสเมียร์อย่างสมบูรณ์ และมีการเผยแพร่องท่อเนื้อฟัน¹⁰ นอกจากนี้สารห้ามเลือดชนิดอลูминัมคลอไรด์ยังทำหน้าที่ในการตกตะกอนโปรตีนในพลาasma¹⁷ ซึ่งขัดขวางการแทรกซึมและการทำงานที่ของสารยึดติด การศึกษาถึงผลของการปนเปื้อนสารห้ามเลือดต่อค่ากำลังแรงยึดในการบูรณะฟันโดยใช้สารยึดติดระบบเซลล์ฟิเบอร์ พบว่า การปนเปื้อนสารห้ามเลือดและไม่ล้างน้ำจะให้ค่ากำลังแรงยึดที่ต่ำกว่ากลุ่มที่ไม่ปนเปื้อนสารห้ามเลือด^{9,10} นอกจากนี้ การปนเปื้อนอื่นๆ เช่น เลือด ความชื้น และน้ำลายก็ทำให้ค่ากำลังแรงยึดของวัสดุต่ำลงเช่นกัน¹⁸⁻²⁴

การศึกษานี้พบว่า ค่าการรั่วซึมระดับจุลภาคของกลุ่มไฟฟันที่ใช้เคลียร์ฟิลเลอสอบอนด์และกลุ่มที่ใช้เคลียร์ฟิลไตรีอสบอนด์ เมื่อเกิดการปนเปื้อนสารห้ามเลือดและล้างน้ำไม่แตกต่างจากกลุ่มควบคุมอย่างมีนัยสำคัญทางสถิติ ทั้งนี้อาจเนื่องมาจากสารห้ามเลือดที่ใช้ในการศึกษานี้คือ อลูминัมคลอไรด์ ซึ่งสามารถละลายได้ในน้ำ แอลกอฮอล์ (alcohol) กลีเซอรอล (glycerol) และโพลิไพริลีนไกลคอล (propylene glycol)²⁵ การล้างน้ำจะละลายสารห้ามเลือดออกจากผิวไฟฟัน ขบวนการการยึดติดจึงเกิดได้ค่อนข้างสมบูรณ์

อย่างไรก็ตามก็ยังมีการทดลองด้านของอลูминัมอิโอน (aluminum ion) บนผิวน้ำแข็งจากล้างสารห้ามเลือดที่ปนเปื้อนออกด้วยน้ำ⁹ ซึ่งทำให้กลุ่มที่ปนเปื้อนสารห้ามเลือดและล้างน้ำแล้วยังมีแนวโน้มของค่าการรั่วซึมที่มากกว่ากลุ่มควบคุมแต่เมื่อนำมาเปรียบเทียบทางสถิติแล้วไม่มีนัยสำคัญทางสถิติ

เมื่อพิจารณาค่าการรั่วซึมของกลุ่มควบคุมทั้งในกลุ่มไฟฟันที่ใช้เคลียร์ฟิลเลอสอบอนด์และกลุ่มที่ใช้เคลียร์ฟิลไตรีอสบอนด์ พบว่า มีการรั่วซึมทั้งผนังด้านบดเคี้ยวและด้านเหงือกแม้ว่าจะไม่มีการปนเปื้อนจากสารห้ามเลือด ทั้งนี้อาจเนื่องมาจากผลของการบูรณะที่ไม่ลึกซึ้งอย่างพอเพียงในช่องปากในแต่การเปลี่ยนแปลงอุณหภูมิที่ทำให้เกิดการหดและขยายตัวของวัสดุบูรณะและเนื้อฟันที่ไม่เท่ากันส่งผลให้เกิดซ่องว่างระหว่างวัสดุบูรณะกับผิวนีโอฟัน

สำหรับค่าการรั่วซึมบริเวณผนังด้านเหงือกที่มากกว่าบริเวณผนังด้านบดเคี้ยวในทุกกลุ่มทดลองนั้น อาจเป็น เพราะเนื้อฟันมีส่วนประกอบของน้ำมากกว่าบริเวณเคลือบฟันทำให้การยึดติดกับวัสดุยากกว่า และเนื้อฟันยังมีองค์ประกอบของไฮดรอกซิอะพาไทด์ที่น้อยกว่าเคลือบฟัน⁴ จึงเกิดพันธะทางเคมีกับ 10-เอ็มดีพี ในสารยึดติดทั้งสองชนิดน้อยกว่าเคลือบฟัน¹⁵

เมื่อพิจารณากลุ่มควบคุมที่ไม่มีการปนเปื้อนพบว่า กลุ่มควบคุมของสารยึดติดชนิดเคลียร์ฟิลไตรีอสบอนด์ให้ค่าการรั่วซึมระดับจุลภาคที่มากกว่ากลุ่มควบคุมของสารยึดติดชนิดเคลียร์ฟิลเลอสอบอนด์ ซึ่งสอดคล้องกับการศึกษาอื่นที่ให้ผลเช่นเดียวกัน^{28,29} เคลียร์ฟิลไตรีอสบอนด์เป็นสารยึดติด 1 ขั้นตอน มีการรวมองค์ประกอบของส่วนที่ขอบน้ำกับส่วนที่ไม่ชอบน้ำ (hydrophobic) เข้าไว้ด้วยกัน และมีน้ำเป็นตัวกลางที่ทำให้สารมอนอเมอร์เกิดการแตกตัว การใช้สารยึดติดชนิดนี้ถ้าการเปลี่ยนน้ำออกไม่สมบูรณ์ในระหว่างการบูรณะฟัน จะให้ค่าการยึดติดแบบผิวนีโอเลือกผ่าน (semi-permeable membrane) โดยยอมให้น้ำและของเหลวซึมผ่านส่งผลต่อคุณภาพในการยึดติดกับผิวนีโอฟันในระยะยาวได้^{30,31} ส่วนเคลียร์ฟิลเลอสอบอนด์ มีการแยกขั้นตอนการทำงานเป็น 2 ขั้นตอน หลังจากการทาสารยึดติดในขั้นสุดท้ายและทำการซายแสงแล้วองค์ประกอบบริเวณพื้นผิวนีโอฟันจะมีภาวะที่ไม่ชอบน้ำ เมื่อทำการบูรณะด้วย

เรซินคอมโพสิตที่มีองค์ประกอบของกลุ่มไดเมทาคริเลต (dimethacrylate group) ที่ไม่ชอบน้ำ เช่นเดียวกันจึงทำให้เกิดการเชื่อมต่อที่ดี และจากการศึกษาที่ผ่านมาพบว่า เคลือยร์ฟิล เอสอีบอนด์ให้ค่ากำลังแรงยึดกับพื้นมากกว่า เคลือยร์ฟิลไตร เอสบอนด์²⁷ นอกจากนี้ยังมีการศึกษาประสิทธิภาพในการยึดอยู่ (retention) ของวัสดุในทางคลินิกที่พบว่า สารยึดติดระบบเซลฟ์ເອທີ່ 2 ขั้นตอนมีอัตราการยึดอยู่ของวัสดุสูงกว่า ระบบเซลฟ์ເອທີ່ 1 ขั้นตอน¹

การศึกษาที่ผ่านมาหลายการศึกษาได้พยายามเพิ่มประสิทธิภาพในการยึดติดของวัสดุกับพิวพันเมื่อเกิดการปนเปื้อนด้วยวิธีต่างๆ และพบว่า การล้างน้ำเป็นวิธีหนึ่งที่สามารถเพิ่มประสิทธิภาพในการบูรณะพื้นยังมีอยู่ และการศึกษานี้ยังจำลองสภาวะจริงภายในช่องปากได้ไม่สมบูรณ์จึงต้องการการศึกษาต่อไปในอนาคต

สรุป

จากการศึกษาในครั้นนี้สรุปได้ว่า ใน การบูรณะพื้นด้วย เรซินคอมโพสิตโดยใช้สารยึดติดชนิดเคลือยร์ฟิลเอสอีบอนด์ และเคลือยร์ฟิลไตรเอสบอนด์ เมื่อเกิดการปนเปื้อนสารห้ามเลือดและไม่ล้างน้ำจะทำให้เกิดการร้าวซึมระดับจุดภาคมากกว่า กลุ่มที่ไม่ปนเปื้อนและกลุ่มปนเปื้อนสารห้ามเลือดและล้างน้ำยกเว้นที่ผนังด้านบนเดียวของกลุ่มเคลือยร์ฟิลเอสอีบอนด์ที่ การปนเปื้อนและไม่ล้างน้ำไม่มีผลต่อการร้าวซึม

กิตติกรรมประกาศ

ขอขอบคุณอาจารย์ไฟพรรณ พิทยานนท์ ที่ให้คำปรึกษาด้านสถิติ ทญ.อุษณีย์ กัลยาธ และ ทญ.อัมพาภรณ์ นิธิประทิป ที่ช่วยอ่านผลคะแนนการร้าวซึม คณาจารย์และเจ้าหน้าที่ศูนย์วิจัย คณบดีคณะแพทยศาสตร์ จุฬาลงกรณ์มหาวิทยาลัย ที่ให้ความอนุเคราะห์และอำนวยความสะดวกในการใช้เครื่องมือ

เอกสารอ้างอิง

1. Peumans M, Kanumilli P, De Munck J, Van Landuyt K, Lambrechts P, Van Meerbeek B. Clinical effectiveness of contemporary adhesives: a systematic review of current clinical trials. *Dent Mater.* 2005; 21:864-81.
2. Versluis A, Douglas WH, Cross M, Sakaguchi RL. Does an incremental filling technique reduce polymerization shrinkage stresses? *J Dent Res.* 1996;75:871-8.
3. Yazici AR, Kugel G, Gul G. The Knoop hardness of a composite resin polymerized with different curing lights and different modes. *J Contemp Dent Pract.* 2007;8:52-9.
4. Perdigao J, Swift EJ. Fundamental concepts of enamel and dentin adhesion. In: Roberson TM, Heymann HO, Swift EJ, editors. Sturdevant's the art and science of operative dentistry. 5th ed. St. Louis: Mosby, 2002:243-71.
5. Donovan TE, Gandara BK, Nemetz H. Review and survey of medicaments used with gingival retraction cords. *J Prosthet Dent.* 1985;53:525-31.
6. Baharav H, Laufer BZ, Langer Y, Cardash HS. The effect of displacement time on gingival crevice width. *Int J Prosthodont.* 1997;10:248-53.
7. Land MF, Couri CC, Johnston WM. Smear layer instability caused by hemostatic agents. *J Prosthet Dent.* 1996;76:477-82.
8. Land MF, Rosenstiel SF, Sandrik JL. Disturbance of the dentinal smear layer by acidic hemostatic agents. *J Prosthet Dent.* 1994;72:4-7.
9. Kuphasuk W, Harnirattisai C, Senawongse P, Tagami J. Bond strengths of two adhesive systems to dentin contaminated with a hemostatic agent. *Oper Dent.* 2007;32:399-405.
10. O'Keefe KL, Pinzon LM, Rivera B, Powers JM. Bond strength of composite to astringent-contaminated dentin using self-etching adhesives. *Am J Dent.* 2005;18:168-72.

11. Kubo S, Yokota H, Sata Y, Hayashi Y. Microleakage of self-etching primers after thermal and flexural load cycling. *Am J Dent.* 2001;14:163-9.
12. Gale MS, Darvell BW. Thermal cycling procedures for laboratory testing of dental restorations. *J Dent.* 1999;27:89-99.
13. Altman DG, editor. *Practical Statistics for Medical Research.* 1st ed. London: Chapman and Hall, 1991; 403-9.
14. Craig RG, Powers JM, editors. *Restorative dental materials.* 11st ed. St. Louis: Mosby, 2002;261-2.
15. Van Landuyt KL, Snaauwaert J, De Munck J, Peumans M, Yoshida Y, Poitevin A, et al. Systematic review of the chemical composition of contemporary dental adhesives. *Biomaterials.* 2007;28:3757-85.
16. Van Landuyt KL, Snaauwaert J, Peumans M, De Munck J, Lambrechts P, Van Meerbeek B. The role of HEMA in one-step self-etch adhesives. *Dent Mater.* 2008;24:1412-9.
17. Felpel LP. A review of pharmacotherapeutics for prosthetic dentistry : Part I. *J Prosthet Dent.* 1997; 77:285-92.
18. Benderli Y, Gokce K, Buyukgokcesu S. In vitro shear bond strength of adhesive to normal and fluoridated enamel under various contaminated conditions. *Quintessence Int.* 1999;30:570-5.
19. Chiba Y, Miyazaki M, Rikuta A, Moore BK. Influence of environmental conditions on dentin bond strengths of one-application adhesive systems. *Oper Dent.* 2004;29:554-9.
20. Kaneshima T, Yatani H, Kasai T, Watanabe EK, Yamashita A. The influence of blood contamination on bond strengths between dentin and an adhesive resin cement. *Oper Dent.* 2000;25:195-201.
21. Park JW, Lee KC. The influence of salivary contamination on shear bond strength of dentin adhesive systems. *Oper Dent.* 2004;29:437-42.
22. Powers JM, Finger WJ, Xie J. Bonding of composite resin to contaminated human enamel and dentin. *J Prosthodont.* 1995;4:28-32.
23. Say EC, Koray F, Tarim B, Soyman M, Gulmez T. In vitro effect of cavity disinfectants on the bond strength of dentin bonding systems. *Quintessence Int.* 2004;35:56-60.
24. Xie J, Powers JM, McGuckin RS. In vitro bond strength of two adhesives to enamel and dentin under normal and contaminated conditions. *Dent Mater.* 1993;9:295-9.
25. ScienceLab Incorporation. Material safety data sheet of aluminum chloride hexahydrate MSDS [online]. (n.d.). 2009. Available from: <http://www.ScienceLab.com> [2009, May 16].
26. Crim GA, Swartz ML, Phillips RW. Comparison of four thermocycling techniques. *J Prosthet Dent.* 1985;53:50-3.
27. Ishii T, Ohara N, Oshima A, Koizumi H, Nakazawa M, Masuno T, et al. Bond strength to bovine dentin of a composite core build-up material combined with four different bonding agents. *J Oral Sci.* 2008;50:329-33.
28. Silveira de Araujo C, Incerti da Silva T, Ogliari FA, Meireles SS, Piva E, Demarco FF. Microleakage of seven adhesive systems in enamel and dentin. *J Contemp Dent Pract.* 2006;7:26-33.
29. Zivkovic S. Quality assessment of marginal sealing using 7 dentin adhesive systems. *Quintessence Int.* 2000;31:423-9.
30. Sadr A, Shimada Y, Tagami J. Effects of solvent drying time on micro-shear bond strength and mechanical properties of two self-etching adhesive systems. *Dent Mater.* 2007;23:1114-9.
31. Tay FR, Pashley DH, Suh BI, Carvalho RM, Itthagaran A. Single-step adhesives are permeable membranes. *J Dent.* 2002;30:371-82.
32. Hitt JC, Feigal RJ. Use of a bonding agent to reduce sealant sensitivity to moisture contamination: an in vitro study. *Pediatr Dent.* 1992;14:41-6.
33. Feigal RJ, Hitt J, Splieth C. Retaining sealant on salivary contaminated enamel. *J Am Dent Assoc.* 1993;124:88-97.

The effect of hemostatic agent contamination on microleakage of restoration using two self-etching adhesives.

Autcharawan Thampalert, D.D.S.¹

Muratha Panich, D.D.S., M.S.D., ABOD²

¹Graduate student, Department of Operative Dentistry, Faculty of Dentistry, Chulalongkorn University

²Department of Operative Dentistry, Faculty of Dentistry, Chulalongkorn University

Abstracts

Objective To compare the effect of hemostatic agent contamination with and without water rinsing on microleakage at occlusal and gingival walls of cavity restored with resin composite using two types of self-etching adhesive.

Materials and methods Class V cavities were prepared in 70 human premolars. Occlusal and gingival margins were located on enamel and cementum respectively. The teeth were randomly divided into 7 groups of ten teeth. Prepared cavities of group 1, 2 and 3, prior to composite restoration using clearfil SE-bond, were subjected to non-hemostatic agent contamination (SE-control), hemostatic agent contamination without water rinsing (SE-NR) and hemostatic agent contamination with water rinsing (SE-R) respectively. Meanwhile, prepared cavities of group 4, 5 and 6, prior to composite restoration using clearfil S3-bond, were subjected to non-hemostatic agent contamination (S3-control), hemostatic agent contamination without water rinsing (S3-NR) and hemostatic agent contamination with water rinsing (S3-R) respectively. Prepared cavities of group 7 were restored without bonding agent (negative control). All teeth were subjected to thermocycling and then immersed in 50% silver nitrate solution for 24 hours. Microleakage at occlusal and gingival walls were evaluated and scored. Data were analyzed using non-parametric statistic; Kruskal-Wallis Multiple comparisons and Mann-Whitney U test.

Results There was no significant difference of microleakage at occlusal walls of SE-control, SE-NR and SE-R groups. SE-NR group had significantly higher microleakage at gingival wall than SE-control group. S3-NR group showed significantly higher microleakage at both occlusal and gingival walls than S3-control group.

Conclusion Hemostatic agent contamination without water rinsing, prior to composite restoration using self-etching adhesives, promoted microleakage at cavity walls, except at the occlusal walls of clearfil SE-bond using group. Water rinsing of hemostatic contaminated could lower the microleakage which comparable to that of uncontaminated group.

(CU Dent J. 2010;33:15-24)

Key words: contamination; hemostatic agent; microleakage; self-etching adhesive.